

**Для цитирования:**

Вердиев Н.Н., Арбуханова П.А., Алхасов А.Б., Магомедбеков У.Г., Вердиева З.Н., Искендеров Э.Г. Система LiF – NaF – KCl. *Изв. вузов. Химия и хим. технология*. 2016. Т. 59. Вып. 5. С. 37-40.

**For citation:**

Verdiev N.N., Arbukhanova P.A., Alkhasov A.B., Magomedbekov U.G., Verdieva Z.N., Iskenderov E.G. LiF – NaF – KCl system. *Izv. Vyssh. Uchebn. Zaved. Khim. Khim. Tekhnol.* 2016. V. 59. N 5. P. 37-40.

УДК 543.226.541.123.7

**Н.Н. Вердиев, П.А. Арбуханова, А.Б. Алхасов, У.Г. Магомедбеков, З.Н. Вердиева, Э.Г. Искендеров**

Надинбег Надинбегович Вердиев (✉), Патимат Абдулаевна Арбуханова, Алибек Басирович Алхасов, Эльдар Гаджимурадович Искендеров

Лаборатория «Аккумулирование низкопотенциального тепла и солнечной энергии», Филиал Объединенного института высоких температур РАН, пр. Шамиля, 39 А, Махачкала, Российская Федерация, 367030  
E-mail: verdiev55@mail.ru (✉), alibek\_alhasov@mail.ru, elisk13@mail.ru

Ухумаали Гаджиевич Магомедбеков, Заира Надинбеговна Вердиева

Кафедра неорганической химии, Дагестанский государственный университет, ул. Батырая, 4,  
Махачкала, Российская Федерация, 367025  
E-mail: ukhgmag@mail.ru, zaira82@mail.ru

**СИСТЕМА LiF – NaF – KCl**

*Дифференциально-термическим (ДТА) и рентгенофазовым (РФА) методами физико-химического анализа изучено стабильное сечение LiF – NaF – KCl четырехкомпонентной взаимной системы Li,Na,K//F,Cl. Установлено, что в системе реализуется эвтектический состав, кристаллизующийся при 591°C. Выявлены температуры начала твердофазных реакций в трехкомпонентных взаимных системах Na,K//F,Cl и Li,Na//F,Cl, (715 и 650 °C), соответственно, отвечающие конверсии реагентов метастабильных диагоналей в продукты стабильных диагоналей.*

**Ключевые слова:** эвтектика, стабильное сечение, взаимная система, точка конверсии, твердофазная реакция, реагент, продукт, диаграмма состояния, стехиометрические соотношения, нонвариантный состав

**N.N. Verdiev, P.A. Arbukhanova, A.B. Alkhasov, U.G. Magomedbekov, Z.N. Verdieva, E.G. Iskenderov**

Nadinbeg N.Verdiев (✉), Patimat A. Arbukhanova, Alibek B. Alkhasov, Eldar G. Iskenderov

Laboratory of Accumulation of Low-Grade Heat and Solar Energy, branch of the Joint Institute for High Temperatures of RAS, Shamil ave., 39 A, Makhachkala, Russia, 367030

E-mail: verdiev55@mail.ru (✉), alibek\_alhasov@mail.ru, elisk13@mail.ru

Ukhmaali G. Magomedbekov, Zaira N. Verdieva

Department of Inorganic Chemistry, Dagestan State University, Batyraya str., 4, Makhachkala, Russia, 367025  
E-mail: ukhgmag@mail.ru, zaira82@mail.ru

**LiF – NaF – KCl SYSTEM**

*The stable cross section of LiF - NaF - KCl quadruple mutual system Li, Na, K // F, Cl was studied with the differential thermal (DTA) and X-ray fluorescence (XRF) methods. It was*

*established that in a system the eutectic composition crystallizing at 591 ° C is realized. Temperatures of starting solid-phase reactions were revealed in the ternary systems mutual Na, K // F, Cl and Li, Na // F, Cl, (715 and 650 °C, respectively) corresponding to the conversion of reactants of metastable diagonals into products of stable diagonals.*

**Key words:** eutectic, stable section, mutual system, conversion point, solid-phase reaction, reactant, product, state diagram, stoichiometric ratios, non-variant composition

Данные изыскания являются частью проводимых нами систематических исследований, предпринятых с целью разработки электролитов многоцелевого назначения и теплоаккумулирующих материалов [1-5].

В качестве объекта исследований выбрана система LiF – NaF – KCl, являющаяся секущим треугольником четырехкомпонентной взаимной системы Li,Na,K//F,Cl. Выбор системы LiF – NaF – KCl в качестве объекта исследований обусловлен тем, что расплавы галогенидов щелочных металлов применяются как среды для выделения металлов и используются в качестве расплавленных электролитов химических источников тока. К тому же нонвариантные составы, расположенные на секущих элементах взаимных систем, обладают наибольшими значениями энталпий фазовых переходов [5], что является одним из основных критериев при подборе теплоаккумулирующих материалов.

### ЭКСПЕРИМЕНТАЛЬНАЯ ЧАСТЬ

Исследования проводились дифференциально-термическим (DTA) и рентгенофазовым (РФА) методами физико-химического анализа. DTA проводился на приборе синхронного термического анализа STA 449 F3 Phoenix, в атмосфере инертных газов (гелий), РФА – на дифрактометре «Empreal», монохроматизация осуществлялась с использованием никелевого β-фильтра ( $I = 30 \text{ mA}$ ,  $U = 40 \text{ kV}$ ), время шага  $0,013 \text{ град/сек}$  и использовалась картотека «PANalytical» ICSD Data base. Исследования проводились в платиновых тиглях с использованием платина-платинородиевой термопары. Скорость нагревания и охлаждения образцов составляла  $10 \text{ }^{\circ}\text{C}/\text{мин}$ . Точность измерения температур  $\pm 3 \text{ }^{\circ}\text{C}$ , масса навесок  $0,1 \text{ г}$ . Индифферентное вещество – свежеприготовленный  $\text{Al}_2\text{O}_3$  квалификации «ч.д.а.». Квалификация исходных солей: KCl – «о.с.ч.», NaF, NaCl «х.ч.».

Все составы выражены в эквивалентных процентах, а температуры – в градусах Цельсия.

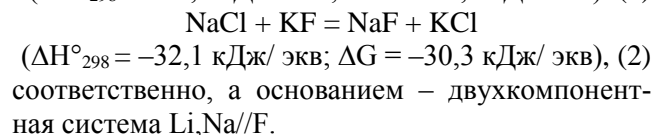
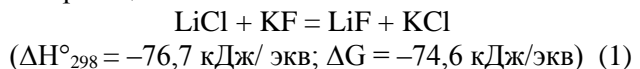
Для установления температур начала твердофазных реакций, реагенты (LiCl + KF и NaCl + KF, общая масса реакционной смеси  $0,1 \text{ г}$ ) взвешивались в стехиометрических соотношениях и тщательно перетирались в платиновых чашках

до мелкодисперсного состояния. Во избежание протекания реакции, каждый реагент доводили до мелкодисперсного состояния в отдельности. Для достижения равномерного распределения реагентов смесь выдерживали на перемешивающем устройстве LS 200 в течение 30 мин. Реакционную смесь погружали в шахтную печь и нагревали до температуры спекания составов. Продукты обменных реакций исследовались РФА.

### РЕЗУЛЬТАТЫ И ИХ ОБСУЖДЕНИЕ

Планирование эксперимента проводилось в соответствии с правилами проекционно-термографического метода определения гетерогенных равновесий в конденсированных многокомпонентных системах [6].

Боковыми сторонами секущего треугольника LiF – NaF – KCl четырехкомпонентной взаимной системы Li,Na,K//F,Cl служат стабильные диагонали LiF – KCl, NaF – KCl трехкомпонентных взаимных систем: Li,K//F,Cl; Na,K//F,Cl, соответственно, в точках конверсий которых протекают реакции взаимного обмена:



По классификации [7] обе взаимные системы относятся к необратимо-взаимным системам.

Термодинамические расчеты подтверждены DTA. С этой целью DTA изучались конверсионные точки трехкомпонентных взаимных систем: Li,K//F,Cl; Na,K//F,Cl. Так как стабильные диагонали трехкомпонентных взаимных систем являются квазибинарными системами, на термограммах DTA должны фиксироваться термоэффекты первичных кристаллизаций и перевальных эвтектических точек. Однако это относится только к сингулярным необратимо-взаимным системам, а в необратимо-взаимных системах, в зависимости от величины теплового эффекта обменной реакции, кристаллизация может завершаться в тройной эвтектике с наибольшей температурой плавления [8]. Это обстоятельство может усложнить интер-

претацию результатов экспериментальных исследований. В нашем случае на термограммах ДТА обеих точек полных конверсий взаимных систем Li,K//F,Cl; Na,K//F,Cl зафиксированы по два термоэффекта, при этом эффекты вторичных кристаллизаций соответствуют температурам перевальных эвтектик 715 и 650 °C стабильных диагоналей LiF – KCl и NaF – KCl, соответственно. Это и подтверждает правомерность термодинамических расчетов. Следовательно, при изучении поверхности ликвидуса системы LiF – NaF – KCl, на термограммах ДТА будут проявляться только три термоэффекта, соответствующих первичной, вторичной и третичной кристаллизации исходных компонентов.

#### Двухкомпонентные системы

LiF – KCl [9]. Перевальная эвтектическая точка при 20% LiF и 715 °C.

NaF – KCl [9]. Перевальная эвтектическая точка при 74% KCl и 650 °C

Li,Na/F [10]. Эвтектика при 652 °C и 39% NaF.

Взаимные системы: Li,K//F,Cl; Na,K//F,Cl [9] и Li,Na,K//F, Cl [11] исследованы ранее.

При планировании эксперимента на стороны сечения LiF – NaF – KCl нанесены данные по двухкомпонентным системам (рис. 1). Из проведенного теоретического анализа граневых элементов системы LiF – NaF – KCl следует, что наибольшим полем кристаллизаций обладает фторид натрия. Исходя из этих соображений, в поле кристаллизации фторида натрия выбран, и экспериментально ДТА изучен, одномерный полтермический разрез **AB**, где **A** – 50% NaF + 50% KCl; **B** – 50% NaF + 50% LiF (рис. 1, 2). Исследованием выявлена точка **a** – проекция тройной эвтектической точки на разрез **AB**. Точка **a** является определяющей для нонвариантного разреза NaF → **a** → **E<sup>Δ</sup>** (рис. 1, 2). Нонвариантный разрез является носителем эвтектического состава, т.е. – это особое сечение системы, где после выделения первично кристаллизующейся фазы происходит совместная кристаллизация фаз, находящихся в нонвариантном равновесии. Таким образом, изучением серии составов, расположенных на нонвариантном разрезе NaF → **a** → **E<sup>Δ</sup>**, выявлена эвтектика с температурой кристаллизации 591 °C и составом в экв. %: LiF – 43,5; NaF – 38; KCl – 18,5 (рис. 1).

Для подтверждения фазового состава эвтектическую смесь выдерживали в течение 10 ч при 590 °C, затем закаливали при температуре тающего льда, и исследовали РФА. Из результатов расшифровки рентгенограммы РФА следует, что в эвтектике кристаллизуются исходные компоненты LiF, NaF и KCl (рис. 3).

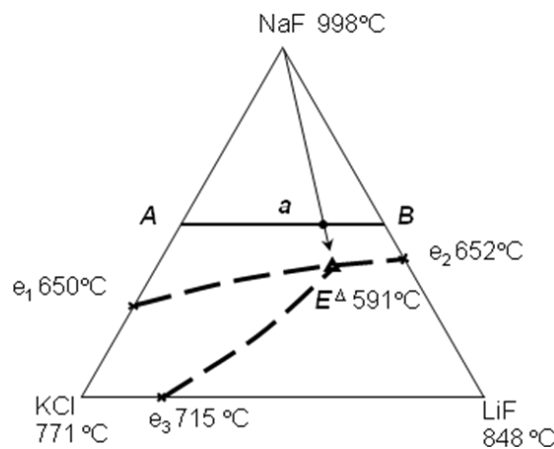


Рис. 1. Система LiF – NaF – KCl и расположение полтермических разрезов AB и NaF → a → E<sup>Δ</sup>

Fig. 1. System LiF – NaF – KCl and location of polythermic sections AB and NaF → a → E<sup>Δ</sup>

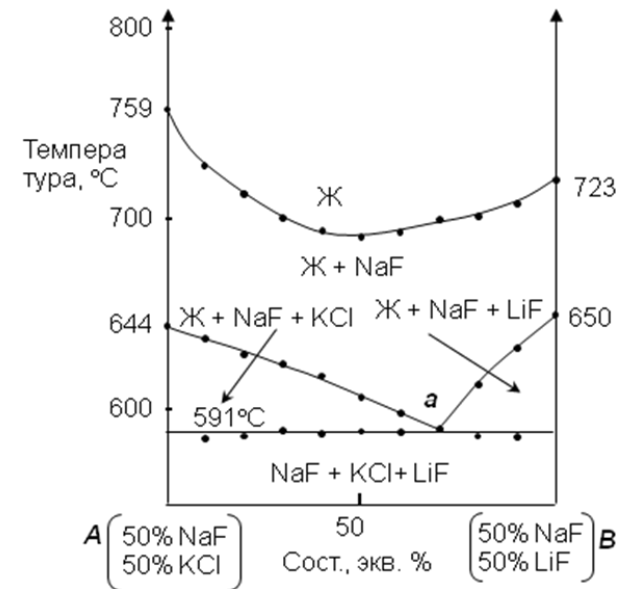


Рис. 2. T-x диаграмма системы LiF – NaF – KCl в разрезе AB

Fig. 2. T-x diagram of system LiF – NaF – KCl in the section AB

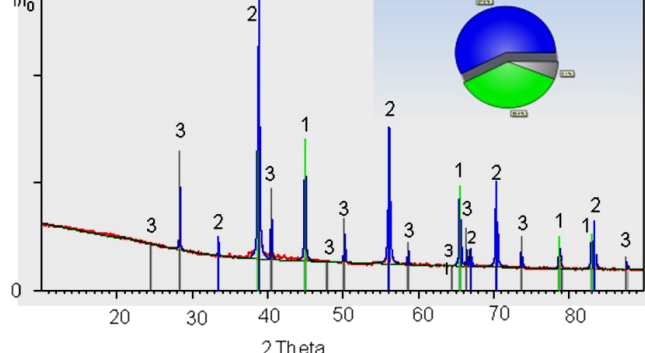


Рис. 3. Результаты РФА образца состава экв. %: LiF – 43,5; NaF – 38; KCl – 18,5. 1 – LiF; 2 – NaF; 3 – KCl

Fig. 3. The results of XRF of sample of composition, eq. %: LiF – 43,5; NaF – 38; KCl – 18,5. 1 – LiF; 2 – NaF; 3 – KCl

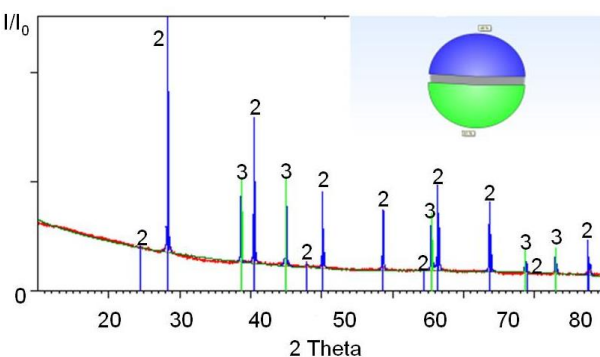
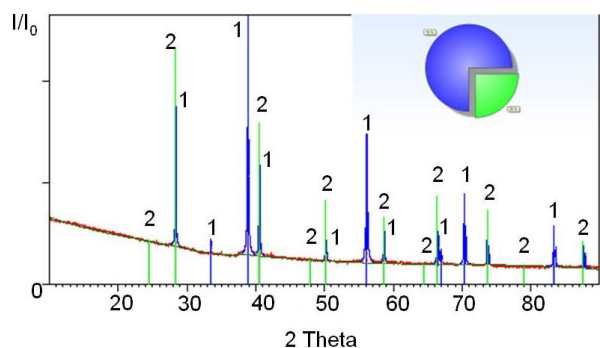


Рис. 4. Результаты РФА твердофазных реакций:  $\text{LiCl} + \text{KF} = \text{LiF} + \text{KCl}$ ;  $\text{NaCl} + \text{KF} = \text{NaF} + \text{KCl}$ ; 1 –  $\text{NaF}$ ; 2 –  $\text{KCl}$ ; 3 –  $\text{LiF}$   
Fig. 4. The results of XRF of solid phase reactions:  $\text{LiCl} + \text{KF} = \text{LiF} + \text{KCl}$ ;  $\text{NaCl} + \text{KF} = \text{NaF} + \text{KCl}$ . 1 –  $\text{NaF}$ ; 2 –  $\text{KCl}$ ; 3 –  $\text{LiF}$

## ЛИТЕРАТУРА

1. Вердиева З.Н., Арбуханова П.А., Вердиев Н.Н. // Изв. вузов. Химия и хим. технология. 2010. Т. 53. Вып. 1. С. 57–59.
2. Вердиев Н.Н., Вердиева З.Н., Казанбеков В.Р., Зейналов Э.Г. // Изв. вузов. Химия и хим. технология. 2011. Т. 54. Вып. 2. С. 63 – 65.
3. Вердиев Н.Н., Арбуханова П.А., Вердиева З.Н., Искендеров Э.Г., Раджабова М.М. // Изв. вузов. Химия и хим. технология. 2011. Т. 54. Вып. 8. С. 17–20.
4. Вердиев Н.Н., Магомедбеков У.Г., Вердиева З.Н., Арбуханова П.А., Исаева П.М. // Изв. вузов. Химия и хим. технология. 2014. Т. 57. Вып. 6. С. 12 – 15.
5. Вердиева З.Н., Алхасов А.Б., Магомедбеков У.Г., Вердиев Н.Н. // Изв. вузов. Химия и хим. технология. 2014. Т. 57. Вып. 7. С. 58 – 61.
6. Космынин А.С., Трунин А.С. Оптимизация экспериментального исследования гетерогенных многокомпонентных систем. Тр. Самарской школы по физико-химическому анализу многокомпонентных систем. Сам. ГТУ. 2007. Т. 14. 160 с.
7. Бергман А.Г., Домбровская Н.С. // Журн. рус. физ.-хим. общ-ва. 1929. Т. 61. С. 1451 – 1453.
8. Трунин А.С. Комплексная методология исследования многокомпонентных систем. Самара: Сам. ГТУ. 1997. 308 с.
9. Диаграммы плавкости солевых систем: Справочник (тройные взаимные системы) / Под ред. В.И. Посыпайко, Е.А. Алексеевой. М.: Химия. 1977. 392 с.
10. Диаграммы плавкости солевых систем: Справочник. / Под ред. В.И. Посыпайко. М.: Металлургия. 1977. Ч.II. Двойные системы с общим анионом. 303 с.
11. Диаграммы плавкости солевых систем. Многокомпонентные системы. Справочник. / Под ред. В.И. Посыпайко, Е.А. Алексеевой. М.: Химия. 1977. 215 с.

С целью выявления температуры начала твердофазных реакций, методом ДТА изучены точки полных конверсий трехкомпонентных взаимных систем  $\text{Li},\text{K}/\text{F},\text{Cl}$ ;  $\text{Na},\text{K}/\text{F},\text{Cl}$ , (реакции 1 и 2). В результате установлено, что в системе  $\text{Li},\text{K}/\text{F},\text{Cl}$ , конверсия метастабильной пары солей в соли стабильной пары происходит при  $715^{\circ}\text{C}$  (реакция 1), а в системе  $\text{Na},\text{K}/\text{F},\text{Cl}$  при  $650^{\circ}\text{C}$  (реакция 2).

Данные РФА подтверждают, что конверсия реагентов происходит при указанных температурах (рис. 4).

## ЗАКЛЮЧЕНИЕ

Разработанный эвтектический состав с температурой кристаллизации  $591^{\circ}\text{C}$ , содержащий в экв. %:  $\text{LiF}$  – 43,5;  $\text{NaF}$  – 38;  $\text{KCl}$  – 18,5, может быть использован в качестве флюса при электросварке цветных металлов, теплоносителя и теплонакопителя в тепловых аккумуляторах, выявленные параметры начала твердофазных реакций – в неорганическом синтезе.

## REFERENCES

1. Verdieu Z.N., Arbukhanova P.A., Verdiev N.N. // Izv. Vyssh. Uchebn. Zaved. Khim. Khim. Tekhnol. 2010. V. 53. N 1. P. 57– 59 (in Russian).
2. Verdiev N.N., Verdieu Z.N., Kazanbekov V.R., Zeiynalov E.G. // Izv. Vyssh. Uchebn. Zaved. Khim. Khim. Tekhnol. 2011. V. 54. N 2. P. 63 – 65 (in Russian).
3. Verdiev N.N., Arbukhanova P.A., Verdieu Z.N., Iskenderov E.G., Radzhabova M.M. // Izv. Vyssh. Uchebn. Zaved. Khim. Khim. Tekhnol. 2011. V. 54. N 8. P. 17–20 (in Russian).
4. Verdiev N.N., Magomedbekov U.G., Verdieu Z.N., Arbukhanova P.A., Isaeva P.M. // Izv. Vyssh. Uchebn. Zaved. Khim. Khim. Tekhnol. 2014. V. 57. N 6. P. 12–15 (in Russian).
5. Verdieu Z.N., Alkhasov A.B., Magomedbekov U.G., Verdiev N.N. // Izv. Vyssh. Uchebn. Zaved. Khim. Khim. Tekhnol. 2014. V. 57. N 7. P. 58 – 61 (in Russian).
6. Kosmynin A.S., Trunin A.S. Optimization of experimental investigation of heterogeneous multi-component systems. Proc. Samara school on physical-chemical analysis of multicomponent systems. Sam. GTU. 2007. V. 14. 160 p. (in Russian).
7. Bergman A.G., Dombrovskaya N.S. // Zhurn. Rus. Fiz. Khim. Obshchestva. 1929. V. 61. P. 1451 – 1453 (in Russian).
8. Trunin A.S. Comprehensive methodology of research of multicomponent systems. Samara. Sam. GTU. 1997. 308 p. (in Russian).
9. The diagrams fusibility of salt systems: Handbook (triple reciprocal systems) / Ed. V.I. Posypayko, E.A. Alexeeva. M: Khimiya. 1977. 392 p. (in Russian).
10. The diagrams fusibility of salt systems: Handbook. / Ed. by V.I. Posypayko. Part II. Dual systems with a common anion. M: Metallurgiya. 1977. 303 p. (in Russian).
11. Diagrams of fusibility of salt systems. Multi-component systems. Handbook. / Ed. V.I. Posypayko, E.A. Alexeeva. M.: Khimiya. 1977. 215 p. (in Russian).